

1. Артюшков Е. В. Новый подход к поиску нефтегазоносных бассейнов // Природа.— 1987.— № 8.— С. 72—81.
2. Атлас геологического строения и нефтегазоносности Днепровско-Донецкой впадины / Под ред. Ю. А. Арсирия, В. А. Витенко, А. М. Палия, А. К. Цыпко.— Киев: М-во геологии УССР, 1984.— 190 с.
3. Вентцель Е. С. Теория вероятностей.— М.: Наука, 1964.— 576 с.
4. Дикенштейн Г. Х., Максимов С. П., Семенович В. В. и др. Нефтегазоносные провинции СССР: Справочник.— М.: Недра, 1983.— 272 с.
5. Кунин Н. Я. Подготовка структур к глубокому бурению для поисков залежи нефти и газа.— М.: Недра, 1981.— 304 с.
6. Лоссовский Е. К. О некоторых априорных оценках коэффициента удачи случайного бурения нефтегазоперспективных площадей // Геол. журн.— 1986.— Т. 46. № 5.— С. 40—47.
7. Лоссовский Е. К. Структура научного знания и перспективы математизации геологии // Геофиз. журн.— 1984.— № 4.— С. 103—112.
8. Лоссовский Е. К. Разведка углеводородов и сейсмические волны в тонкослоистой связкоупругой геологической среде // Там же.— 1985, № 6.— С. 82—95.
9. Нагель Э., Ньюмен Д. Теорема Геделя.— М.: Знание, 1970.— 64 с.
10. Сейсмическая стратиграфия / Пер. с англ. под ред. Н. Я. Кунина, Г. Н. Гогоненкова.— М.: Мир, 1982.— 846 с.
11. Сейсморазведка: Справочник геофизика / Под ред. В. В. Федынского.— М.: Недра, 1981.— 464 с.
12. Слензак О. И. Формирование сиалической коры и проблема происхождения углеводородов // Проблема происхождения нефти.— Киев: Наук. думка, 1966.— С. 63—102.
13. Соколов Б. А. Развитие представлений о тектонических закономерностях нефтегазонакопления в земной коре // Глобальные тектонические закономерности нефтегазонакопления.— М.: Наука, 1985.— С. 14—25.
14. Сорохтин О. Г. Глобальная эволюция Земли.— М.: Наука, 1974.— 184 с.
15. Сорохтин О. Г., Монин А. С., Хайн В. Е., Зоненшайн Л. П. Геодинамика. Геофизика океана.— М.: Наука, 1979.— Т. 2: Океанология.— 413 с.
16. Стратонович Р. Л. Теория информации.— М.: Сов. радио, 1975.— 424 с.
17. Трофимук А. А. Первые результаты применения прямых методов поиска и разведки нефтегазовых месторождений в Сибири // Вестн. АН СССР.— 1981.— № 11.— С. 11—23.
18. Трофимук А. А., Мандельбаум М. М., Пузырев Н. Н., Сурков В. С. Прямые поиски нефти и газа и их применение в Сибири // Геология и геофизика.— 1981.— № 4.— С. 3—15.
19. Хайн В. Е., Монин А. С., Сорохтин О. Г. Перспективы развития современной геологии.— М.: Знание, 1983.— 48 с.
20. Шерифф Р., Гелдарт Л. Сейсморазведка.— М.: Мир, 1987.— Т. 1.— 448 с.
21. Яглом А. М., Яглом И. М. Вероятность и информация.— М.: Наука, 1973.— 511 с.
22. Menard H. W. Toward a Rational Strategy for Oil Exploration // Sci. Amer.— 1981.— Vol. 244, N 1.— P. 47—57.
23. Pratt W. E. Toward a Philosophy of Oil-Finding // Bull. Amer. Ass. Petrol. Geol.— 1952.— Vol. 36, N 12.— P. 2231—2236.

Ин-т геофизики АН УССР, Киев

Статья поступила  
28.01.88

УДК 551.724.553.983

## Геология и прогноз нефтегазоносности Керченско-Таманской акватории Черного моря

И. П. Сулимов, В. И. Самсонов

Геологическое строение и проблема нефтегазоносности рассматривающей зоны черноморской акватории освещаются в работах многих исследователей [1—12]. В соответствии с их данными, в строении Керченско-Таманской акватории принимают участие терригенно-глинистые, карбонатные и туфогенно-эффузивные породы мезокайнозоя, слагающие осадочный чехол. Мощность их, по геофизическим данным, колеблется от 4 км в сводах поднятий до 10—11 км в прогибах.

Согласно проведенному авторами статьи тектоническому районированию, этот регион расположен в пределах Причерноморской щель-фовой зоны, ограниченной складчатыми сооружениями Большого Кавказа — на востоке, Горного Крыма — на западе, Индоло-Кубанским

передовым прогибом — на севере и континентальным склоном глубоководной впадины Черного моря — на юге. Структурное положение данной территории отражено на прилагаемой тектонической схеме (рис. 1). Основными структурными элементами здесь являются: Феодосийский выступ Южно-Крымского мегантиклиниория, Анапский выступ главного Кавказского мегантиклиниория, а также его Прикерченский блок.

Феодосийский субширотный выступ мегантиклиниория Южного Крыма, размером  $45 \times 35$  км, ограничен на севере Индоло-Кубанским прогибом, а на юге — внешней зоной шельфа по изобате 100—120 м.

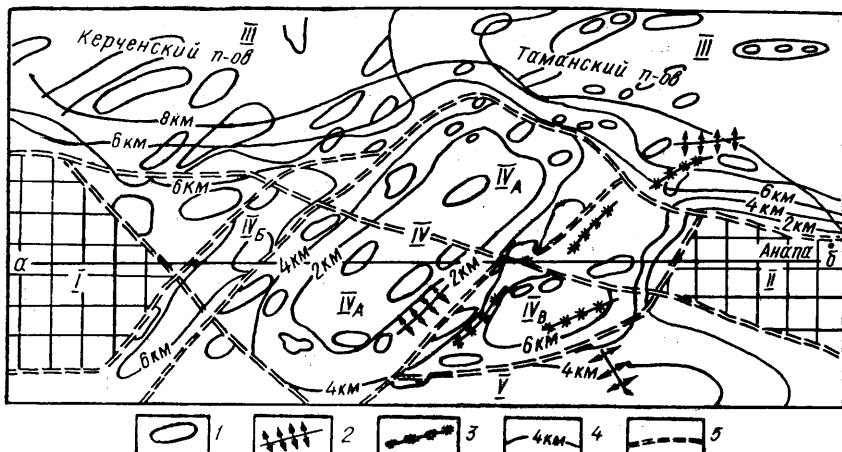


Рис. 1. Тектоническая схема Керченско-Таманского региона (по И. П. Сулимову и В. П. Самсонову, 1985)

Основные тектонические элементы: I — Феодосийский выступ Южно-Крымского мегантиклиниория, II — Анапский выступ мегантиклиниория Большого Кавказа, III — Индоло-Кубанский краевой прогиб, IV — Прикерченский мегаблок погребенного срединного массива ( $IV_A$  — Пантикопейское водное поднятие,  $IV_B$  — Восточно-Крымская грабен-синклиналь,  $IV_C$  — Западно-Анапская синклиналь), V — Барьерное поднятие. 1 — локальные поднятия, по данным сейсморазведки и гравимагнитометрии; 2 — оси антиклинальных зон; 3 — оси синклинальных зон; 4 — изопахиты осадочного чехла; 5 — глубинные разломы

По данным сейсморазведки и гравимагнитометрии [7], этот выступ имеет блоковое строение. Глубина залегания доплиоценовой эрозионной поверхности составляет 400—600 м. Ниже залегает складчатый субстрат, сложенный породами таврической серии, а в синклиниорных зонах — юрско-нижнемеловыми образованиями.

Прикерченский мегаблок занимает всю территорию смежного шельфа к югу от Керченского и Таманского полуостровов и ограничен с востока Анапским выступом мегантиклиниория Большого Кавказа. В работах М. В. Муратова [5 и др.] зона этого мегаблока именуется «периклинальным прогибом», В. П. Пекло с соавторами [6] называют ее «межпериклинальным прогибом», В. В. Бобылев и др. [2] — «Прикерченским поднятием». Д. А. Туголесов с соавторами [10] склонен объединять Керченско-Таманскую зону с прогибом Сорокина в единую впадину.

По многим геофизическим константам, включая гравитационное и магнитное поля, а также сейсмические временные разрезы на построенному В. П. Самсоновым геолого-геофизическом профиле (рис. 2), эта зона значительно отличается не только от Анапского и Феодосийского выступов, но и от Индоло-Кубанского прогиба, и от прогиба Сорокина. Судя по этим данным, Керченско-Таманская шельфовая зона имеет сравнительно простое двухъярусное строение (фундамент, чехол), характерное для эпипалеозойских срединных массивов и молодых платформ. Учитывая ограниченные размеры этой жесткой глыбы и факт облекания ее линейными складками Крымско-Кавказской альпийской геосинклинали, можно сделать вывод о существовании здесь периферического субплатформенного блока как реликта распространяв-

шегося к югу огромного срединного массива, что хорошо согласуется с представлениями М. В. Муратова, Я. Л. Яншина [5] и других геологов.

Прикерченский мегаблок четко отражается на профилях ГСЗ, а также на картах магнитного и гравитационного полей. На карте силы тяжести его структура представлена слабыми положительными аномалиями в редукции Буге, тогда как для Индоло-Кубанского прогиба характерен отрицательный минимум. Магнитное поле в пределах этого блока выражено отрицательными значениями небольшой интен-

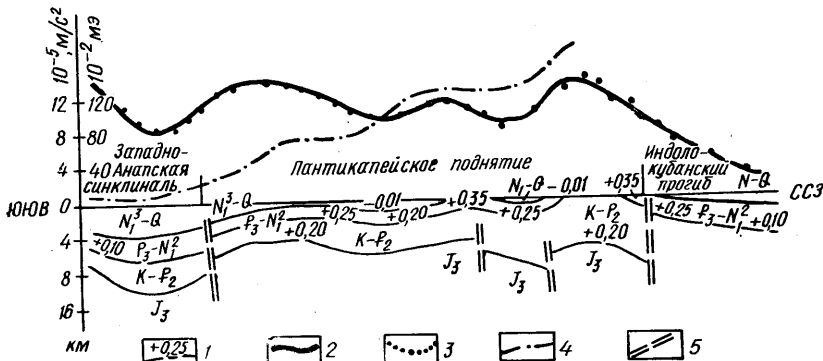


Рис. 2. Геолого-геофизический разрез через Керченско-Таманский регион по линии а—б (составил В. И. Самсонов, 1984)

сивности. Наличие здесь крупного поднятия подтверждает и сокращенная мощность (порядка 200 м) отложений майкопской серии. Судя по сейсмическим разрезам, этот мегаблок по кровле фундамента представляется высокоподнятой структурой, гипсометрические отметки которой соответственно на 4 и 9 км выше, чем у ограничивающих ее с юга и севера палеогеновых прогибов. Контуры мегаблока отвечают в плане линиям глубинных разломов, что говорит об их горстовой природе.

В составе крупного Прикерченского мегаблока нами выделяются следующие структуры низшего порядка: Пантикопейское поднятие, Западно-Анапская синклиналь и Восточно-Крымская грабен-синклиналь (рис. 1).

Пантикопейское поднятие, размерами  $100 \times 20$  км, ориентировано с северо-востока на юго-запад. Мощность осадочного чехла составляет около 5 км. На дне шельфа здесь развиты осадки плиоцена и миоцена. Южнее, в полосе континентального склона, по геофизическим данным установленна мощная (до 1000 м) толща антропогена. По опорным горизонтам чехла выделяются несколько локальных антиклиналей и синклинальных прогибов, расположенных кулисообразно друг к другу. В западной части основного поднятия, перед Феодосийским выступом, по отражающим сейсмическим горизонтам в юрско-меловой толще выделяется Восточно-Крымская грабен-синклиналь северо-восточного простирания. Мощность осадочного чехла составляет 8—9 км, в структуре его намечаются антиклинальные и синклинальные зоны.

Со стороны Кавказа Прикерченский мегаблок сопряжен с Западно-Анапской синклиналью, ограниченной далее к востоку Анапским выступом. Мощность осадочных отложений чехла составляет 8—9 км и заметно уменьшается к северо-востоку. Здесь также выделяются синклинальная зона — на западе и антиклинальная — на востоке, с рядом небольших локальных поднятий.

Определенный интерес представляет собой Барьерная зона, или Краевой вал Анапского выступа мегантиклиниория Большого Кавказа, выделенный В. М. Андреевым и Р. А. Казанцевым [1] на основе гра-

вимагнитометрии и сейсморазведки в качестве горстовой структуры, длина которой по изогипсе — 5 км составляет около 60 км, ширина — до 10 км и амплитуда поднятия — порядка 2 км. Периферическая часть горста на северо-востоке кулисообразно причленяется к самой южной антиклинальной зоне Анапского выступа. Простижение краевого вала меняется с северо-восточного (около Анапского выступа) до юго-западного (в противоположной стороне). Осадочный чехол, суммарной мощностью около 1,8 км, представлен здесь, вероятно, платформенными фациями, при этом почти полностью выклинивается майкопская серия, и отложения плиоценена трансгрессивно залегают на слоях эоцена.

В порядке обобщения геолого-геофизической информации о Прикерченском мегаблоке отметим следующее: 1) мощность осадочного чехла в его пределах, по сравнению со смежными прогибами — Индоло-Кубанским и Сорокина, сокращена и варьирует от 3 до 7 км, причем намечается полное выклинивание майкопской серии, а отложения мела и палеогена, вероятно, представлены платформенными фациями; 2) складчатые структуры осадочного чехла выражены преимущественно брахиантеклиналями, а размеры их значительно больше, чем в прилегающих майкопских прогибах; 3) в строении локальных поднятий намечается большая контрастность антиклиналей в слоях мела и палеогена, по сравнению с вышележащими горизонтами разреза, что указывает на длительное и унаследованное развитие этих структур. Об этом свидетельствуют и положительные гравитационные аномалии, приуроченные к зонам антиклиналей.

Учитывая важное значение локальных поднятий как объектов нефтегазоисковых работ, отметим, что площадь антиклинальных структур в среднем составляет 20—30 км<sup>2</sup>, амплитуды достигают 250—350 м и углы падения на крыльях — до 20—30°.

В смежном Азово-Кубанском нефтегазоносном бассейне, согласно исследованиям, проведенным М. С. Бурштаром, А. И. Дьяконовым и другими в 1973 г., продуктивные горизонты распространены по всему разрезу осадочного чехла — от триаса до плиоценена. В отложениях нижнего мела, палеоценена — эоцена и майкопской серии олигоцена — нижнего миоцена количество нефтегазовых залежей в этих трех продуктивных толщах имеет почти одинаковое соотношение.

На Керченско-Таманском шельфе Черного моря толща триасовых отложений сильно дислоцирована и является составной частью киммерийского структурного яруса, перспективы нефтегазоносности которого, по аналогии со смежными районами Большого и Горного Крыма, весьма низкие.

Вышележащий альпийский структурный ярус в нижней своей части представлен доорогенной серией осадочных формаций нижнего мела — неогена, в основании которой залегает терригенная формация нижнего мела, состоящая из трех подформаций: песчано-глинистой, терригенно-карбонатной и вулканогенно-терригенной. Их суммарная мощность, по геофизическим данным, колеблется от 500 (приподнятые блоки) до 1500 м (в синклиналях). С этими формациями на прилегающей сущесвязаны нефтегазопроявления. Над ними располагается терригенно-карбонатная формация, расчленяющаяся на мергельно-известняковую (сеноман — маастрихт), песчано-известняковую (дат — палеоцен), глинисто-мергельную (эоцен) подформации, общей мощностью от 500 до 1400 м, для которых характерна региональная нефтегазоносность.

Выше формационный ряд наращивается раннеорогенной, повсеместно продуктивной глинистой формацией майкопской серии олигоцена — нижнего миоцена, в которой преобладают глины, содержащие подчиненные прослои алевритов и песков (общая мощность до 3000 м).

Альпийский структурный ярус венчается позднеорогенной терригенно-карбонатной формацией верхнего миоцена — плиоценена, для которой характерно чередование мергелей, известняков, глин и песков (общая мощность около 3000 м). С этой формацией на прилегающем внут-

реннем борту Индоло-Кубанского прогиба связано несколько месторождений нефти и газа.

Таким образом, к потенциально продуктивным горизонтам в пределах Керченско-Таманского шельфа Черного моря должны относиться юрский, меловой, палеогеновый и неогеновый комплексы.

Наличие на этом участке шельфа крупного Прикерченского блокового поднятия в значительной мере расширяет перспективы нефтегазоносности осадочного чехла. Надо также учитывать, что к названному мегаблоку с севера примыкают Индоло-Кубанский прогиб, а с юго-запада — прогиб Сорокина, являющиеся крупными нефтегазогенерирующими осадчонопородными бассейнами Азово-Черноморского региона. Таким образом, при наличии благоприятных структурных и литологостратиграфических ловушек Прикерченский мегаблок может оказаться крупной зоной нефтегазонакопления. В сводной его части следует ожидать опесчанивания разреза осадочных отложений и увеличения количества терригенных слоев и пачек. Здесь могут быть встречены и погребенные рифовые постройки, карбонатные породы которых обычно характеризуются хорошими коллекторскими свойствами.

Значительный интерес для нефтегазопоисковых работ представляют пологие склоны Причерноморского мегаблока, в пределах которых обычно наблюдаются заметные фациальные изменения осадочных толщ, а мощность их составляет 5—6 км. На этих склонах можно встретить протяженные зоны выклинивания и фациального замещения отдельных литологостратиграфических комплексов. В такой палеогеографической и палеотектонической обстановке нередко формируются весьма крупные литологически экранированные ловушки углеводородов. Здесь могут быть и тектонически экранированные ловушки.

Неменьшее значение для поисков залежей углеводородов имеет сводовая часть Пантикопейского поднятия, занимающего значительную площадь шельфа. В пределах свода, где мощность осадочного чехла не превышает 5 км, по геофизическим данным [6, 7] установлено более 15 локальных антиклиналей (площадью от 5—10 до 60—70 км<sup>2</sup> каждая и с амплитудой до 150—200 м), прослеживаемых по всем отражающим горизонтам осадочного чехла. Относительно крупными среди них являются поднятия Пионерское, Маячное, Анисимова, Субботина, Абиха и др. Проведенные в пределах этих антиклиналей опытные геофизические исследования с целью выявления аномалий, связанных с нефтегазовыми залежами, дали положительные результаты. Продуктивные горизонты в названных локальных поднятиях ассоциируют с юрскими (?), меловыми и палеогеновыми отложениями, представленными как глинисто-терригенными, так и карбонатными фациями. Соответственно коллекторы могут быть и гранулярными — в песчаниках и алевролитах, и трещинно-поровыми — в известняках.

К числу благоприятных для поисков углеводородов крупных антиклинальных структур, расположенных к югу от Пантикопейского поднятия, относится и Барьерный вал, где мощность чехла не превышает 4 км и где предполагаются ловушки пластово-сводового типа, а также литологические и тектонически экранированные залежи. Источниками поступления углеводородов в ловушки Пантикопейского сводового поднятия и Барьерного вала являются в основном смежные зоны прогибов и впадин, откуда происходит миграция нефти и газа. Определенный интерес в этом отношении представляют не только прогибы Индоло-Кубанский и Сорокина, но и расположенные в пределах Прикерченского мегаблока Западно-Анапская синклиналь и Восточно-Крымская грабен-синклиналь, где мощность мезокайнозойских отложений, по геофизическим данным, составляет около 10 км. В пределах этих синклиналей оконтурено до 20 локальных поднятий средних размеров, в которых продуктивные горизонты могут быть связаны как с юрско(?)—меловыми, так и с палеоген-неогеновыми отложениями.

Майкопская серия, венчающая разрез осадочной толщи, имеет в контурах крупных поднятий рассматриваемого шельфа небольшую

(около 200 м) мощность и, вероятно, сложена терригенными осадками. Их потенциальная продуктивность будет зависеть от наличия глинистых экранирующих покрышек.

Анапский выступ, перекрытый осадочным чехлом, и участок шельфа, прилегающий с южной стороны к Феодосийскому выступу, оцениваются как малоперспективные на нефть и газ из-за интенсивной дислоцированности толщи верхнемеловых и палеогеновых пород, слагающих эти участки. Несколько южнее Феодосийского выступа небольшие нефтегазовые залежи могут быть связаны с зоной выклинивания палеоген-миоценовых отложений.

Бесперспективным в нефтегазоносном отношении является Феодосийский выступ мегантекtonория Южного Крыма, сложенный сильно дислоцированными и метаморфизованными породами таврической серии верхнего триаса—нижней юры, которая перекрыта маломощной (около 150 м) толщей терригенных и вулканогенных отложений средней—верхней юры и палеогена.

#### Summary

New geological-geophysical data on stratigraphy, lithology, tectonics and oil and gas content of the Mesocainozoic deposits in the Kerch subplatform megablock are presented. The authors regard the above megablock as a relict rigid block of the median paleo-massif which had existed earlier on the place of the recent deep-water depression of the Black Sea.

1. Андреев В. В., Казанцев Р. А., Панаев В. А. и др. Тектоника области сочленения Кавказа и Крыма // Тектоника и стратиграфия.—1981.—Вып. 20.—С. 43—49.
2. Бобылев В. В., Кабанов А. П., Шиманов Ю. В. Прикерченское поднятие и перспективы его нефтегазоносности // Геология нефти и газа.—1976.—№ 11.—С. 36—41.
3. Головинский В. Н., Маловицкий Я. П., Милашин А. П. Некоторые данные о геологическом строении зоны сочленения Горного Крыма и Северо-Западного Кавказа // Морская геология и геофизика.—1970.—№ 1.—С. 95—98.
4. Коцеруба В. В., Кабанов А. П. Строение и перспективы нефтегазоносности Керченско-Таманского шельфа Черного моря // Геология нефти и газа.—1979.—№ 2.—С. 20—26.
5. Муратов М. В., Яншин А. Л. Особенности строения срединных массивов различного возраста и межостровных массивов дна океанов // Тектоника срединных массивов.—М.: Наука, 1976.—С. 34—43.
6. Пекло В. Н., Маловицкий Я. П., Сидоренко С. Ф. Геологическое строение Тамани, Западного погружения Кавказа, Притаманской части Черного моря // Тектоника и сейсмичность Причерноморья и Черноморской впадины.—Кишинев: Штиинца, 1974.—С. 109—114.
7. Самсонов В. И. Глубинное геологическое строение Керченско-Таманского шельфа Черного моря в связи с проблемой нефтегазоносности: Автореф. дис. ... канд. геол.-минерал. наук.—Одесса, 1984.—18 с.
8. Сулимов И. Н. Геология Украинского Черноморья.—Киев: Выща шк., 1984.—162 с.
9. Терехов А. А. Шельф северо-восточной части Черного моря у берегов Кавказа // Земная кора и история развития Черноморской впадины.—М.: Наука, 1975.—С. 42—49.
10. Туголесов Д. А., Горшков А. С., Мейсер Л. Б. и др. Тектоника мезокайнозойских отложений Черноморской впадины.—М.: Недра, 1985.—205 с.
11. Шнюков Е. Ф., Аленкин В. М., Путь А. А. и др. Геология шельфа УССР: Керченский пролив.—Киев: Наук. думка, 1981.—158 с.
12. Шнюков Е. Ф., Захаров В. Е., Аленкин В. М., Глебов А. Я. Геологическое строение южного склона Керченско-Таманской зоны // Геол. журн.—1979.—Т. 39, № 4.—С. 21—34.

Одес. ун-т, Одесса

Статья поступила  
05.06.85